

$$p_D(v) = \frac{1}{\sqrt{2\pi}} \mathcal{F}^{-1} \frac{Y(k)}{L(k)} D(k)$$

Ha  $D(k)$  elég kicsi  $k \gg 1/\Gamma$ -ra, akkor a zajt hatásosan el tudjuk nyomni.

De a  $D(k)$  szűrőfüggvény alkalmazásával  $p(v)$ -t is torzítjuk!

$$p_D(v) = \frac{1}{\sqrt{2\pi}} \mathcal{F}^{-1} \frac{Y(k)}{L(k)} D(k)$$

$$P_D(k) = \underbrace{\frac{1}{\sqrt{2\pi}} \frac{Y(k)}{L(k)}}_{P(k)} D(k)$$

$$p_D(v) = \frac{1}{\sqrt{2\pi}} p(v) * d(v) = \frac{1}{\sqrt{2\pi}} \int_{-\infty}^{+\infty} p(w) d(v-w) dw$$

↑  
 $p(v)$  szimítása  $D(k)$  inverz Fourier-transzformáltjával

Szűrőfüggvény alkalmazása vagy a mért spektrum szimítása egymással teljesen ekvivalens műveletek:

Simitott zajmentes spektrum:

$$y_D(v) = \frac{1}{\sqrt{2\pi}} \int_{-\infty}^{+\infty} y(w) d(v-w) dw$$

$$Y_D(k) = Y(k) D(k)$$

$$\frac{1}{\sqrt{2\pi}} \mathcal{F}^{-1} \frac{Y_D(k)}{L(k)} = \frac{1}{\sqrt{2\pi}} \mathcal{F}^{-1} \frac{Y(k)}{L(k)} D(k) = P_D(k)$$

Így is ugyanazt a  $p_D(v)$  eloszlásfüggvényt kapjuk.

Milyen a jó szűrőfüggvény?

A  $k_0$  lezárási frekvencia felett elnyomja a zajt, alatta nem torzít túlságosan.

$$D(k) > \frac{1}{2}, \text{ ha } |k| < k_0$$

$$D(k) < \frac{1}{2}, \text{ ha } |k| > k_0$$

Lépcsőfüggvény:

$$D(k) = 1, \text{ ha } |k| < k_0$$

$$D(k) = 0, \text{ ha } |k| > k_0$$

$$\text{A megfelelő simítófüggvény: } \frac{1}{\sqrt{2\pi}} d(v) = \frac{1}{\pi} \frac{\sin v k_0}{v}$$

↑  
lassan lecsengő  
oszcillációk!

A lépcsőfüggvény rossz szűrőfüggvény, mert keskeny  $p(v)$  ( $\Gamma_p \ll 1/k_0$ ) esetén  $p_D(v)$  oszcillál (ú.n.

Gibbs-oszcillációk).

Topó szűrő: •  $D(k) \approx 1$ , ha  $k < k_0$

•  $D(k) \approx 0$ , ha  $k > k_0$

①

$k_0 \approx 1/\Gamma_p$ , ahol  $\Gamma_p$   $p(v)$  legfinomabb részletének szélessége  
(ezt előre kell tudni/sejteni)

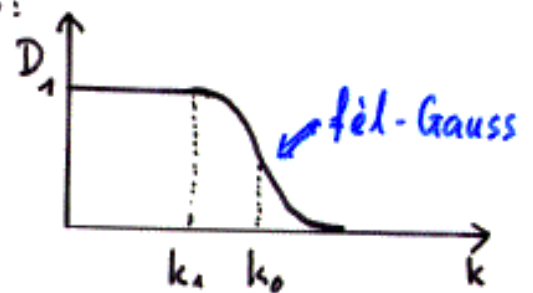
•  $\frac{1}{\sqrt{2\pi}} \mathcal{F}^{-1} D(k)$ -n nincsenek olyan oszcillációk, melyek a  $p(v)$ -vel való konvolúció után is nagyobb amplitúdójúak  $p'_0(v)$  zajánál. ②

Gauss-szűrő:

$$D(k) = e^{-\ln 2 \left(\frac{k}{k_0}\right)^2}$$

② jól teljesül, de ① csak igen gyengén.

Módosított Gauss- (Inouye-) szűrő:



Fermi-Dirac-szűrő:

Probléma az eddigi szűrőkkel:

$$\frac{D(k)}{L(k)} \rightarrow 0, \text{ ha } k \rightarrow \infty$$

$D(k) \approx 1$  és  $L(k) \approx 1$ , ha  $k \approx 0$ , viszont  $L(k)$  monoton csökken. Ezért  $D(k)/L(k)$ -nak mindig van egy maximuma  $k \approx k_0$  körül. Ennek következtében

a zaj  $k_0$  körüli része is túlhangsúlyozódik;  $p'_D(\nu)$ -n  $\approx k_0$  frekvenciájú oszcillációk jelennek meg. Ezért célszerű  $D(k)$ -t úgy megválasztani, hogy aszimptotikusan ( $k \rightarrow \infty$ ) egy pozitív állandóhoz tartson ③.

$$D(k) = \frac{1 + C}{1 + \frac{C}{L(k)}} \quad (C \ll 1)$$

①  $D(0) = 1$   
 $D(k) \rightarrow 0$ , ha  $k \rightarrow \infty$

③  $\frac{D(k)}{L(k)} \rightarrow \frac{1}{C} + 1$ , ha  $k \rightarrow \infty$

② nem teljesül, de  $C$  választható úgy, hogy  $p_D(\nu)$  oszcillációi és  $p'_D(\nu)$  zaja összemérhető legyen.

$$D(k) = \frac{1 + e^{-k_0 \Gamma}}{1 + e^{(k - k_0) \Gamma}} \quad k_0 = -\frac{1}{\Gamma} \ln C$$

### Afanaszjev - Cimbal - módszer

Bonyolult integráltranszformációs eljárás; megmutatható, hogy (egy viszonylag rossz mérőfüggvénnyel végrehajtott) Fourier - eljárással egyenértékű. Az alapvonal pontos értékére - nemből a többi Fourier - eljárással - nem érzékeny.

## Illesztéses eljárások

$p(v)$ -t modellfüggvénynek tekintjük, mely az  $a_1, a_2, \dots, a_N$  paraméterektől függ. A  $\chi^2$ -et minimalizáljuk:

$$\chi^2 =: Q = \frac{1}{N_f} \sum_k (y_k - y'_k)^2 \cdot \frac{1}{y'_k}$$

↑ szabadságfokok száma

↑  $y(v_k)$

↑ Poisson-súlyozás; néha elhagyják

## Window-módszer

$p(v)$  helyett  $p(H)$ -t illesztjük.

↑ hipertinom magneses tér

$p(H)$ -t trigonometrihus sor alakjában keressük:

$$p(H) = \sum_{j=1}^N a_j f_j(H) \quad , \text{ ahol}$$

$$f_j(H) = \cos \frac{j\pi H}{H_{\max}} - (-1)^j$$

$$y(v) = \sum_{j=1}^N a_j F_j(v)$$

↑ az  $f_j(H)$ -hoz tartozó Mössbauer-spektrum

$p(H)$  „simasága”  $N$  megválasztásával állítható be.

## Narret - módszer

$p(H)$  hisztogram:  $p(H_j)$

( $H_1, H_2, \dots, H_N$  ekvidisztans értékek.)

$$y(\nu) = \sum_{j=1}^N \underbrace{p(H_j)}_{\substack{\uparrow \\ \text{elosztási} \\ \text{paraméterek}}} \underbrace{L_c(H_j, \nu)}_{\substack{\uparrow \\ \text{a } H_j\text{-hez tartozó} \\ \text{6-vonalas spektrum}}}$$

Ha  $N$  elég nagy és a zaj kicsi, akkor egzakt megoldást ad.  
Ez általában nem teljesül  $\Rightarrow p(H_j)$  oszcillál;  $j \neq k$  esetén  
 $p(H_j)$  és  $p(H_k)$  erősen korreláltak.

## Büntetőfüggvényes Narret - módszerek

Ha  $p(H)$  valamilyen tulajdonsága „nem tetszik”, a kívánatostól való eltérést a  $\chi^2$ -ben további taggal „büntetjük”:

$$Q_p = Q + \mu \underbrace{P[p(H)]}_{\substack{\uparrow \\ \text{Lagrange-} \\ \text{multiplikátor}}} \underbrace{\quad}_{\substack{\uparrow \\ \text{megfelelő alábbi} \\ \text{funkcionál}}}$$

- Hesse - Rübartsch - módszer
- Brand - Le Caër - (maximális entrópia -) módszer

## Hesse - Rübartsch - módszer

$$Q_H = Q + \mu \sum_{j=2}^{N-1} [2p(H_j) - p(H_{j-1}) - p(H_{j+1})]^2$$



ha  $\mu$  elég nagy, a Tarret-féle hamis oszcillációk eltűnnek. **Lokális simaságot biztosít.**

## Brand - Le Caër - (maximális entrópia-) módszer

$$Q_B = Q + \mu \underbrace{\sum_{j=1}^N p(H_j) \ln [p(H_j)]}_{\text{a } p(H_j) \text{ eloszlás negatív entrópiája (információtartalma)}}$$

a  $p(H_j)$  eloszlás negatív entrópiája (információtartalma)

**Globális simaságot biztosít.**

A  $p(H_j)$  eloszlás entrópiája:

$$S = - \sum_{j=1}^N p(H_j) \ln [p(H_j)]$$

Minimum ( $S=0$ ), ha  $p(H_j) = \delta_{j j_0}$

Maximum ( $S = \ln N$ ), ha  $p(H_j) = \frac{1}{N}$  ( $j=1, 2, \dots, N$ )

H pontosan meghatározott

H-ról nincs semmi információnk

Normált entrópia:

$$S^* = \frac{1}{\ln N} \sum_{j=1}^N p(H_j) \ln [p(H_j)]$$

További fizikai információ nélkül nem tudhatjuk, a csúcsok valódi fizikai jelentéssel bírnak-e, vagy csak a zajból származnak.

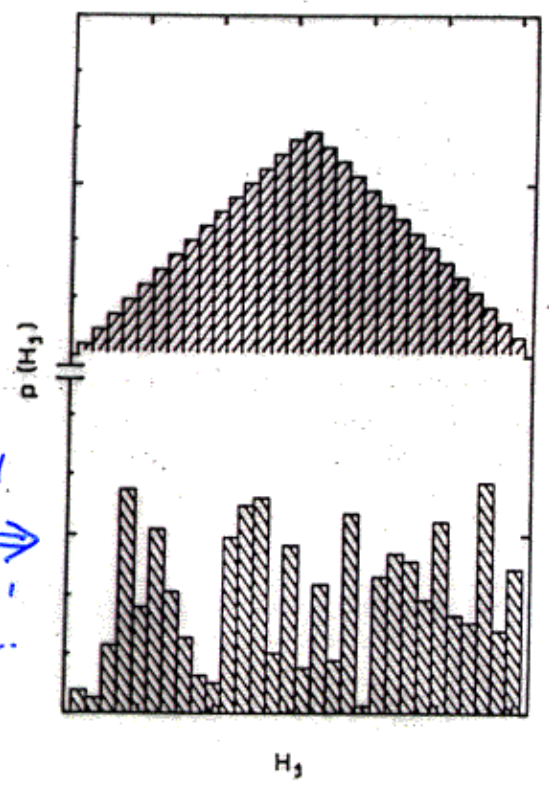


Fig. 1. Two hypothetical distributions  $p(H_j)$  of the hyperfine magnetic field  $H$  having the same value of normalized entropy ( $S^* = 0.948$ ) for  $N = 30$ .

Egy eloszlás entrópiája csak akkor van egyértelműen meghatározva, ha a kölcsönhatást ismerjük. Pl. ha  $p_v(v)$  két  $\delta$ -függvény összege, akkor ez lehet

- két különböző tömör eltolódási szingulett
- egy jól meghatározott kvadrupólus-dublett

Az első esetben  $p_v(v)$  normált entrópiája

$$S_v^* = \frac{\ln 2}{\ln N} > 0,$$

a második esetben

$$S_v^* = 0$$

### Meghatározott alakú eloszlások módszere

$p(v)$ -t vagy  $p(H)$ -t többé-kevésbé önkényes alakú, néhány paramétertől függő formában vesszük fel, majd a  $\chi^2$ -et e paraméterek függvényében minimalizáljuk. Mivel általában a paraméterek száma csekély, büntető-függvény alkalmazására nincs szükség.

### Shannon - Tsuei - (Gauss) módszer

$$p(H) = \frac{1}{\sqrt{2\pi\sigma^2}} e^{-\frac{(H-H_0)^2}{2\sigma^2}}$$

## Shanon-Tsueri (módosított Lorentz-) módszer

$$p(H) = \begin{cases} \frac{1}{(H-H_0)^2 + \frac{\Gamma^2}{4}} & , \text{ ha } 0 \leq H \leq H_0 \\ e^{-\frac{(H-H_0)^2}{2\sigma^2}} & , \text{ ha } H > H_0 \end{cases}$$

## Logan-Sun- (aszimmetrikus Gauss-) módszer

$$p(H) = \begin{cases} e^{-\frac{(H-H_0)^2}{2\sigma_0^2}} & , \text{ ha } 0 \leq H \leq H_0 \\ e^{-\frac{(H-H_0)^2}{2\sigma_1^2}} & , \text{ ha } H > H_0 \end{cases}$$

## Vincze- (binomiális-) módszer

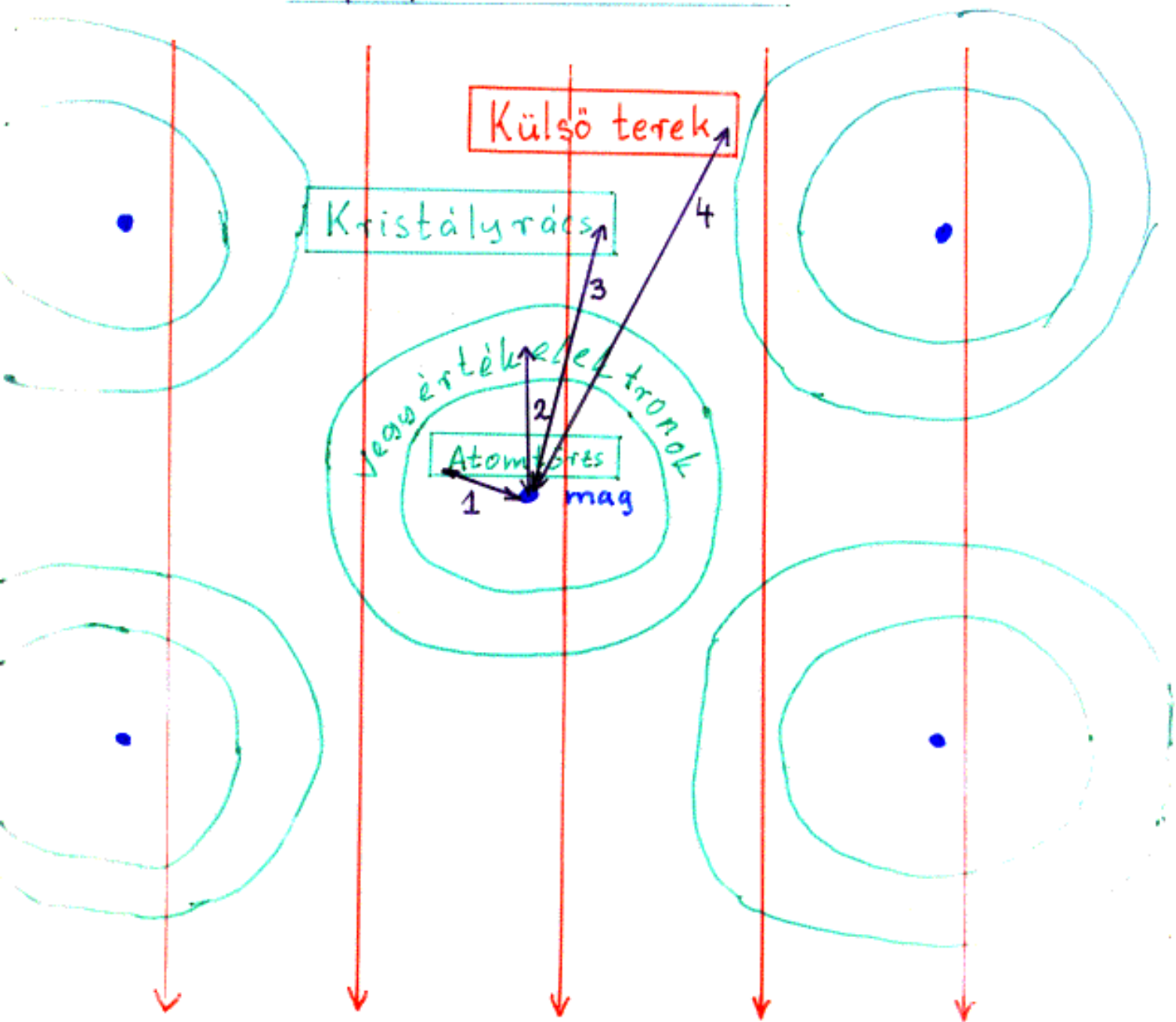
$$p(H(k)) = \frac{1}{\delta H} \frac{z!}{k! (z-k)!} x^k (1-x)^{z-k}$$

$$H(k) = H_0 + k \delta H$$

Illesztett paraméterek:  $H_0$ ,  $\delta H$ ,  $x$ .

$z$  nem illesztett paraméter, csak a  $z+1$  hasázból álló hisztogram finomságát határozza meg.

# Hiperfinom kölcsönhatás



$$\hat{H}_{hf} = \underbrace{\hat{H}_1 + \hat{H}_2 + \hat{H}_3 + \hat{H}_4}_{\text{héjfizika}} \underbrace{\hspace{10em}}_{\text{teljes kölcsönhatás}}$$

belső terek

# Elektromos kölcsönhatás

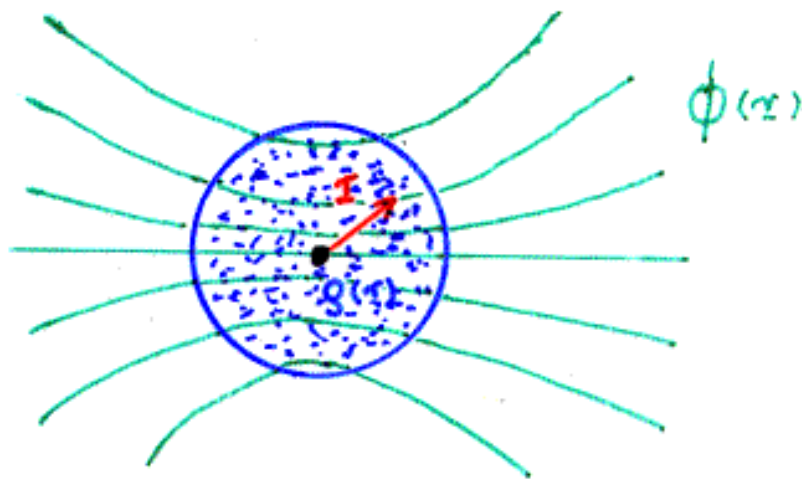
## 1. Taylor - sorfejtés

$\rho(\mathbf{r})$ : klasszikus mag-töltéseloszlás

$\phi(\mathbf{r})$ : az elektronok, a többi ionok, stb. elektromos potenciálja

Az elektromos kölcsönhatási energia:

$$E_e = \int \rho(\mathbf{r}) \phi(\mathbf{r}) d^3\mathbf{r}$$



A mag belsejében a potenciált Taylor-sorba fejtjük:

$$\phi(\mathbf{r}) = \phi(0) + \sum_{\alpha=1}^3 \left. \frac{\partial \phi}{\partial x_{\alpha}} \right|_{\mathbf{r}=0} x_{\alpha} + \frac{1}{2} \sum_{\alpha, \beta=1}^3 \left. \frac{\partial^2 \phi}{\partial x_{\alpha} \partial x_{\beta}} \right|_{\mathbf{r}=0} x_{\alpha} x_{\beta} + \dots$$

$$E_e = \underbrace{\phi(0) \int \rho(\mathbf{r}) d^3\mathbf{r}}_{Ze} + \sum_{\alpha} \left. \frac{\partial \phi}{\partial x_{\alpha}} \right|_{\mathbf{r}=0} \underbrace{\int \rho(\mathbf{r}) x_{\alpha} d^3\mathbf{r}}_{\text{a mag } \underline{D} \text{ elektromos dipólusnyomatéka}} +$$

①

②

$$+ \frac{1}{2} \sum_{\alpha, \beta} \left. \frac{\partial^2 \phi}{\partial x_{\alpha} \partial x_{\beta}} \right|_{\mathbf{r}=0} \int \rho(\mathbf{r}) x_{\alpha} x_{\beta} + \dots$$

③

$\phi_{\alpha\beta}(0)$

①  $\phi(\underline{r}) Z e$ : egy pontszerű mag kölcsönhatása  $\phi(\underline{r})$ -rel.  
Valamennyi magnivőt ugyanolyan mértékben tol el.  
 (0-ad rendű monopólus-kölcsönhatás)

②  $\underline{D} = \underline{0}$

$$\begin{aligned} \underline{D} &= \int \underline{r} \rho(\underline{r}) d^3 \underline{r} = && \text{(dipólus-kölcsönhatás)} \\ &= \int \underline{r} \Psi^*(\underline{r}_1, \dots, \underline{r}_A) \sum_{i=1}^A e_i \delta(\underline{r}_i - \underline{r}) \Psi(\underline{r}_1, \dots, \underline{r}_A) d^3 \underline{r}_1 \dots d^3 \underline{r}_A d^3 \underline{r} = \\ &= \sum_i e_i \underbrace{\int \Psi^*(\underline{r}_1, \dots, \underline{r}_A) \underline{r}_i \Psi(\underline{r}_1, \dots, \underline{r}_A) d^3 \underline{r}_1 \dots d^3 \underline{r}_i \dots d^3 \underline{r}_A}_{= 0, \text{ mivel az integrandus } \underline{r}_i \text{-ben páratlan}} = 0 \\ &= 0, \text{ mivel az integrandus } \underline{r}_i \text{-ben páratlan} \\ & \quad (\Psi(\underline{r}_1, \dots, \underline{r}_A) \text{ vagy páros, vagy páratlan}) \end{aligned}$$

③

Definíció: elektromos tetragradiens (ETG):

$$V_{\alpha\beta}(\underline{r}) := \phi_{\alpha\beta}(\underline{r}) - \frac{1}{3} \underbrace{T_{\alpha\beta}(\underline{r})}_{\Delta\phi(\underline{r})} \delta_{\alpha\beta}$$

↑  
 pongyola elnevezés!  
 • előjel  
 • nyom-mentes

$$\begin{aligned} \frac{1}{2} \sum_{\alpha, \beta} \phi_{\alpha\beta}(\underline{r}) \int \rho(\underline{r}') x_\alpha x_\beta d^3 \underline{r}' &= \frac{1}{2} \sum_{\alpha, \beta} \left[ V_{\alpha\beta}(\underline{r}) + \frac{1}{3} \Delta\phi \Big|_{\underline{r}=\underline{r}} \delta_{\alpha\beta} \right] \cdot \\ &\cdot \left[ \int \rho(\underline{r}') (x_\alpha x_\beta - \frac{\underline{r}'^2}{3} \delta_{\alpha\beta}) d^3 \underline{r}' + \int \rho(\underline{r}') \frac{\underline{r}'^2}{3} \delta_{\alpha\beta} d^3 \underline{r}' \right] = \\ &= \frac{1}{6} \underbrace{\Delta\phi \Big|_{\underline{r}=\underline{r}}}_{-\frac{1}{\epsilon_0} \sigma(\underline{r}) \leftarrow \text{külső töltések sűrűsége}} \int \underline{r}'^2 \rho(\underline{r}') d^3 \underline{r}' + \frac{1}{2} \sum_{\alpha, \beta} V_{\alpha\beta}(\underline{r}) \int \rho(\underline{r}') (x_\alpha x_\beta - \frac{\underline{r}'^2}{3} \delta_{\alpha\beta}) d^3 \underline{r}' \end{aligned}$$

$E_c$  (másodrendű monopólus-kölcsönhatás)  $E_Q$  (kvadrupólus-kölcsönhatás)

Mindkettő másodrendű effektus ( $\sim x_\alpha x_\beta$ )!

A másodrendű monopólus-tag **nem** egy pontszerű mag (vagyis egy elektromos monopólus) elektrosztatikus kölcsönhatását írja le a külső elektronokkal, hanem **egy kiterjedt mag elektrosztatikus kölcsönhatását a mag helyén lévő elektronokkal.**

Miért monopólus-kölcsönhatás?  $\Rightarrow$  l. multipólus-sorfejtés

$$E_c = \frac{1}{6} \Delta \phi \int r^2 g(r) d^3r = -\frac{1}{6\epsilon_0} \sigma(0) Z e \langle r^2 \rangle =$$

$$= \frac{Z e^2}{6\epsilon_0} |\psi(0)|^2 \langle r^2 \rangle$$

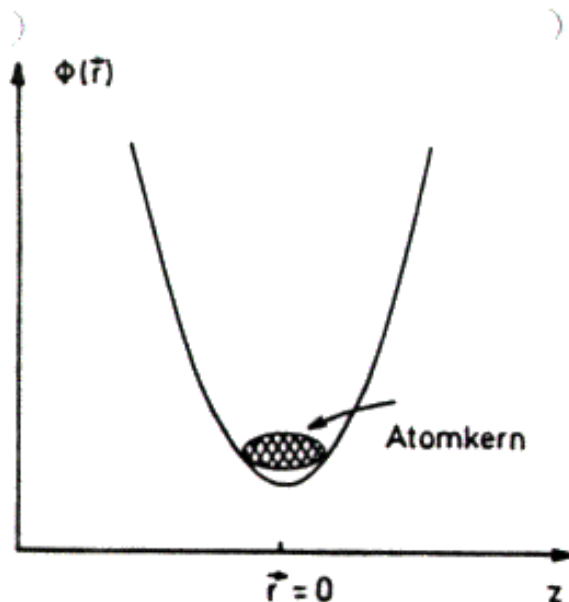
a magot homogén töltéssűrűségű, R sugarú gömbnek tekintve:

$$= \frac{Z e^2}{10\epsilon_0} |\psi(0)|^2 R^2$$

$E_c$  tulajdonságai:

- az  $|I, M\rangle$  állapotok M szerinti elfajulását nem szünteti meg  $\Rightarrow$  PAC, PAD, ... nem mutatja ki. Nem jelentkezik közvetlenül a szinkrotron-Mössbauer-spektroszkópiában sem.
- csak olyan átmenetben jelentkezik, amelynek során R változik  $\Rightarrow$  nem figyelhető meg NMR-ben, NQR-ben.

A Mössbauer-spektrumok izomér-eltolódásában nyilvánul meg.



**Abb. 3.3:** Anschauliche Erklärung des Monopol- und Quadrupolterms. Der Atomkern befindet sich in einem Potentialminimum. Der Rand des Atomkerns ist dabei auf einem etwas höheren Potential als der zentrale Bereich (oder eine Punktladung). Die Energieanhebung im Vergleich zu einer Punktladung hängt von der Krümmung des Potentials und von der Ausdehnung des Kerns ab (Monopolterm). Falls die Krümmung des Potentials in den drei Raumrichtungen nicht gleich ist, spielt die Orientierung eines deformierten Atomkerns im Potential eine Rolle (Quadrupolterm). Die tiefste Energie erhält man, falls die Längsachse des Kerns in Richtung der schwächsten Krümmung des Potentials weist.

A kvadrupólus-tag:

$$E_Q = \frac{1}{2} \sum_{\alpha, \beta} V_{\alpha\beta}(0) \underbrace{\int (x_\alpha x_\beta - \frac{1}{3} r^2 \delta_{\alpha\beta}) g(r) d^3r}_{\frac{e}{3} Q_{\alpha\beta}} =$$

az ETG főtengely-transzformációja után:

$$= \frac{e}{6} \sum_{\alpha} V_{\alpha\alpha}(0) Q_{\alpha\alpha}$$

Az ETG-tenzor tulajdonságai:

- $\sum_{\alpha} V_{\alpha\alpha}(r) = \Delta V(r) = 0$  (per definitionem)
- $\sum_{\alpha} V_{\alpha\alpha} = 0$  miatt a diagonalizált ETG-tenzor két paraméterrel írható le:

$$\eta = \frac{V_{xx} - V_{yy}}{V_{zz}} \quad (|V_{zz}| \geq |V_{yy}| > |V_{xx}|)$$

$Q_{\alpha\beta} = \frac{3}{e} \int (x_\alpha x_\beta - \frac{1}{3} r^2 \delta_{\alpha\beta}) g(r) d^3r$  egy másodrendű, nyom-mentes, szimmetrikus tenzor. A hozzá tartozó másodrendű szférikus tenzor:

$$Q_{2m} = \frac{1}{e} \sqrt{\frac{16\pi}{5}} \int r^2 Y_2^m(\theta, \phi) g(r) d^3r$$

$V_{\alpha\beta}$  szintén másodrendű, nyom-mentes, szimmetrikus tenzor. Hozzá tartozik:

$$V_{20} = V_{zz}$$

$$V_{2,\pm 1} = \mp \sqrt{\frac{2}{3}} (V_{xz} \pm V_{yz})$$

$$V_{2,\pm 2} = \sqrt{\frac{1}{6}} (V_{xx} - V_{yy} \pm 2i V_{xy})$$

Ezekkel kifejezve:

$$E_Q = \frac{e}{6} \sum_{\alpha, \beta} V_{\alpha\beta} Q_{\alpha\beta} = \frac{e}{4} \sum_m (-1)^m Q_{2m} V_{2-m}$$

Ez valóban a kvadrupólus-kölcsönhatás?

## 2. Multipólus-sorfejtés

$\rho_n(\underline{r}_n)$ : a mag töltéssűrűsége

$\rho_e(\underline{r}_e)$ : az elektronok töltéssűrűsége

$$E_e = \frac{1}{4\pi\epsilon_0} \int \frac{\rho_e(\underline{r}_e) \rho_n(\underline{r}_n)}{|\underline{r}_e - \underline{r}_n|} d^3 r_e d^3 r_n$$

↑  
nem retardált potenciál  $\Rightarrow$  nem-relativisztikus közelítés!

$$\frac{1}{|\underline{r}_e - \underline{r}_n|} = \sum_{l,m} (-1)^m \frac{4\pi}{2l+1} \left( \frac{r_n}{r_e} \right)^l Y_l^m(\theta_n, \phi_n) Y_l^{-m}(\theta_e, \phi_e)$$

$$4\pi\epsilon_0 E_e = \int \frac{\rho_e(\underline{r}_e) \rho_n(\underline{r}_n)}{r_e} d^3 r_e d^3 r_n +$$

$$Y_0^0(\theta, \phi) = \frac{1}{\sqrt{4\pi}}$$

$E_0$ : monopólus-kölcsönhatás ( $l=0$ )

$$+ \frac{4\pi}{3} \sum_{m=-1}^1 (-1)^m \int \frac{r_n}{r_e^2} \rho_n(\underline{r}_n) Y_1^m(\theta_n, \phi_n) \rho_e(\underline{r}_e) Y_1^{-m}(\theta_e, \phi_e) d^3 r_e d^3 r_n +$$

$E_1$ : dipólus-kölcsönhatás ( $l=1$ )

$$+ \frac{4\pi}{5} \sum_{m=-2}^2 (-1)^m \int \frac{r_n^2}{r_e^3} \rho_n(\underline{r}_n) Y_2^m(\theta_n, \phi_n) \rho_e(\underline{r}_e) Y_2^{-m}(\theta_e, \phi_e) d^3 r_e d^3 r_n +$$

$E_2$ : kvadrupólus-kölcsönhatás ( $l=2$ )

Közelítés:  $\tau_z = \tau_e$  }  $l > 0$  esetén  
 $\tau_z = \tau_n$

Ezzel elhanyagoljuk a magon belül az elektronok anizotropiáját (nem-relativisztikusan jogos).

$$4\pi\epsilon_0 E_e = \int \frac{\rho_e(\tau_e)\rho_n(\tau_n)}{\tau_z} d^3\tau_e d^3\tau_n +$$

$$+ \frac{4\pi}{3} \sum_{m=-1}^1 (-1)^m \int \rho_n(\tau_n) \tau_n Y_1^m(\theta_n, \phi_n) d^3\tau_n \int \rho_e(\tau_e) \frac{1}{\tau_e^2} Y_1^{-m}(\theta_e, \phi_e) d^3\tau_e +$$

$$+ \frac{4\pi}{5} \sum_{m=-2}^2 (-1)^m \int \rho_n(\tau_n) \tau_n^2 Y_2^m(\theta_n, \phi_n) d^3\tau_n \int \rho_e(\tau_e) \frac{1}{\tau_e^3} Y_2^{-m}(\theta_e, \phi_e) d^3\tau_e + \dots$$

**Definíció:** a  $\rho(\tau)$  töltéseloszlás általánosított elektromos multipólusnyomatéka ( $l$ -ed rendű szférikus tenzor):

$$T_{lm} = \int \rho(\tau) \tau^l Y_l^m(\theta, \phi) d^3\tau$$

**Jelentése**

**Szférikus**

**Derékszögű**

Töltés

$$Ze = \sqrt{4\pi} T_{00}$$

Dipólusnyomaték

$$D_{1m} = \sqrt{\frac{4\pi}{3}} T_{1m}$$

$$D_z = \sqrt{\frac{4\pi}{3}} T_{10}$$

$$D_{10} = D_z$$

$$D_x \pm iD_y = \pm \sqrt{\frac{8\pi}{3}} T_{1,\pm 1}$$

Kvadrupólus-nyomaték

$$Q_{2m} = \frac{1}{e} \sqrt{\frac{16\pi}{5}} T_{2m}$$

$$Q_{zz} = \frac{1}{e} \sqrt{\frac{16\pi}{5}} T_{20}$$

$$Q_{20} = Q_{zz}$$

$$Q_{2,\pm 1} = \mp \sqrt{\frac{2}{3}} (Q_{xz} \pm iQ_{yz})$$

$$Q_{xy} \pm iQ_{yz} = \mp \frac{1}{e} \sqrt{\frac{24\pi}{5}} T_{2,\pm 1}$$

$$Q_{2,\pm 2} = \sqrt{\frac{1}{6}} (Q_{xx} - Q_{yy} \pm 2iQ_{xy})$$

$$Q_{xx} - Q_{yy} \pm 2iQ_{xy} = \frac{1}{e} \sqrt{\frac{96\pi}{5}} T_{2,\pm 2}$$

A megfelelő tenzoroperátor (a mag-hullámfüggvényekre hat):

$$\hat{T}_{lm} = e \tau^l Y_l^m(\theta, \phi)$$

**Definíció:** a  $g(\mathbf{r})$  töltésszűrő potenciáljának általánosított multipólus-deriváltja:

$$U_{lm} = \int g(\mathbf{r}) \frac{1}{r^{l+1}} Y_l^m(\theta, \phi) d^3\tau$$

Jelentése	Szférikus	Derékszögű
Potenciál		$\phi(0) = \frac{1}{\epsilon_0} \sqrt{\frac{1}{4\pi}} U_{00}$
Elektromos térerősség	$E_{1m} = \frac{1}{\epsilon_0} \sqrt{\frac{1}{12\pi}} U_{1m}$	$E_z = \frac{1}{\epsilon_0} \sqrt{\frac{1}{12\pi}} U_{10}$ $E_x \pm i E_y = \pm \frac{1}{\epsilon_0} \sqrt{\frac{1}{6\pi}} U_{1,\pm 1}$
ETG	$V_{2m} = \frac{1}{\epsilon_0} \sqrt{\frac{1}{5\pi}} U_{2m}$	$V_{zz} = \frac{1}{\epsilon_0} \sqrt{\frac{1}{5\pi}} U_{20}$ $V_{xz} \pm i V_{yz} = \pm \frac{1}{\epsilon_0} \sqrt{\frac{3}{10\pi}} U_{2,\pm 1}$ $V_{xx} - V_{yy} \pm 2i V_{xy} = \frac{1}{\epsilon_0} \sqrt{\frac{6}{5\pi}} U_{2,\pm 2}$

A megfelelő tenzoroperátor (az elektron-hullámfüggvényekre hat):

$$\hat{U}_{lm} = -e \frac{1}{r^{l+1}} Y_l^m(\theta, \phi)$$

Magok általánosított elektromos multipólus-nyomatékainak tulajdonságai:

függvény	paritás
$g_n(\mathbf{r}_n)$	+1
$r^l$	+1
$Y_l^m(\theta_n, \phi_n)$	$(-1)^l$

Ezért

$$\langle IM | \hat{T}_{lm} | IM \rangle = T_{lm} = 0, \text{ ha } l \text{ páratlan}$$

- $\langle IM | \hat{T}_{2m} | IM \rangle = (-1)^{I-M} \underbrace{\begin{pmatrix} I & 2 & I \\ -M & m & M \end{pmatrix}}_{\substack{0, \text{ ha } I < 1 \\ 0, \text{ ha } m \neq 0}} \langle I || T_2 || I \rangle$

$$Q = \frac{1}{e} \sqrt{\frac{16\pi}{5}} \langle II | \hat{T}_{20} | II \rangle = \frac{1}{e} \sqrt{\frac{16\pi}{5}} \begin{pmatrix} I & 2 & I \\ -I & 0 & I \end{pmatrix} \langle II || T_2 || II \rangle$$

Ezért írható le a kvadrupólus-nyomaték egyetlen mennyiséggel.

$$E_e = \frac{1}{4\pi\epsilon_0} \int \frac{g_e(\underline{r}_e) g_n(\underline{r}_n)}{r_{>}} d^3r_n d^3r_e + \frac{1}{\epsilon_0} \sum_{\ell=2,4,6,\dots} \frac{1}{2\ell+1} \sum_{m=-\ell}^{\ell} (-1)^m T_{\ell m} U_{\ell-m}$$

Közelítések: • nem-relativisztikus

- az elektronok esetleges magon belüli anizotrópiája nincs figyelembe véve

További közelítés:  $\ell \geq 4$  esetén elhanyagoljuk a  $2^\ell$ -pólus-kölcsönhatást.

$$E_e = \frac{1}{4\pi\epsilon_0} \int \frac{g_e(\underline{r}_e) g_n(\underline{r}_n)}{r_{>}} d^3r_e d^3r_n +$$

$$+ \frac{1}{5\epsilon_0} \sum_{m=-2}^2 (-1)^m T_{2m} U_{2-m}$$

$E_0$

$E_2$

$$E_2 = \frac{e}{4} \sum_m (-1)^m Q_{2m} V_{2-m} = E_Q$$

Azonos a Taylor-sorfejtés kvadrupólus-tagjával.